

# بهبود عمل کرد سامانه بازشناسی گفتار پیوسته با ویژگی‌های استخراج شده از مانیفولد های گفتاری در فضای بازسازی شده فاز

یاسر شکفته و فرشاد الماس گنج

آزمایشگاه پردازش گفتار، دانشکده مهندسی پزشکی، دانشگاه صنعتی امیرکبیر، تهران، ایران

## چکیده

یکی از رویکردهای مؤثر در بهبود کارایی سامانه های بازشناسی گفتار، طراحی روش های متنوع استخراج ویژگی از سیگنال گفتار و ترکیب اطلاعات به دست آمده از آنهاست. تحقیقات اخیر نشان می دهد که سیگنال گفتار رفتار غیرخطی و آشوبی دارد؛ ولی از این مشخصه سیگنال گفتار در سامانه های بازشناسی پیوسته گفتار استفاده نمی شود. یکی از حوزه های مناسب برای نمایش مشخصه های پویا و غیرخطی سیگنال آشوبی، فضای بازسازی شده فاز (RPS) است، از این رو در این مقاله یک روش جدید استخراج ویژگی مبتنی بر RPS (LLRPS) پیشنهاد شده است. این ویژگی ها از امتیاز شباهت تراژکتوری سیگنال گفتار جaszai شده در RPS با مجموعه ای از مانیفولد های واجی از پیش تعیین شده محاسبه می شوند. سپس مقادیر احتمال پسین واجی به وسیله ساختار شبکه عصبی TMLP از روی ویژگی های LLRPS تخمین زده می شود. ساختار شبکه عصبی استفاده شده، به صورتی است که علاوه بر توانایی استخراج اطلاعات پویا، قابلیت پیاده سازی روش های متنوع ترکیب خروجی دارد. نتایج آزمایش ها بر روی مجموعه دادگان گفتاری فارس دات نشان می دهد که ترکیب غیرخطی خروجی سامانه های بازشناسی، شامل ویژگی های متداول کبیستروم MFCC و ویژگی های بیشنهادی LLRPS در ترتیب منجر به بهبود ۳/۹۴ درصد در دقیقت بازشناسی قاب و ۴/۰۲ درصد در دقیقت بازشناسی واج نسبت به عمل کرد سامانه بازشناسی پایه شده است.

واژگان کلیدی: بازشناسی گفتار پیوسته، استخراج ویژگی، فضای بازسازی شده فاز، مانیفولد های واجی، امتیاز درست نمایی، شبکه عصبی.

## ۱- مقدمه

یک سری زمانی با توصیف چندمتغیره، در فضای حالت<sup>۳</sup> یا فضای فاز<sup>۴</sup> می توان بیان نمود; Kokkinos, 2005; Haghmuller, 2006; Sun, 2007). این انتقال سیگنال به فضای حالت می تواند به صورتی انجام شود که رفتار تراژکتوری متناظر با آن، از لحاظ هندسی معادل با تراژکتوری واقعی آن باشد (Kantz, 1997).

در همین زمینه، تیکنتر روش های جاسازی فضایی در حوزه های مشابه با فضای حالت (که فضای بازسازی شده فاز<sup>۵</sup> (RPS) نامیده می شود) را به عنوان یکی از تکنیک های مطالعه مشخصه های پویای غیرخطی و آشوبی معرفی کرد

سامانه تولید گفتار انسان شامل یک فرآیند پویای چندمتغیره است که خروجی آن به طور معمول به شکل یک مشاهده تک متغیره<sup>۶</sup> یا تک بعدی تحت عنوان سیگنال زمان- گسسته گفتار توسط میکروفون ضبط می شود. در فرآیند تولید سیگنال گفتار، به علت بروز برخی عوامل مانند ارتعاش غیرخطی تارهای صوتی و یا حرکات لایه ای هوا در مجرای صوتی، تظاهرات آشوب گونه<sup>۷</sup> در شکل سیگنال گفتار مشاهده شده است (Awrejcewicz, 1990; Berry, 1994; Herzel, 1995; Jiang, 2002; Jiang, 2006) به خواص سیگنال های آشوب گونه، سیگنال گفتار را به صورت

<sup>3</sup> State Space

<sup>4</sup> Phase Space

<sup>5</sup> Embedding Space

<sup>6</sup> Reconstructed Phase Space

<sup>7</sup> Univariate

<sup>2</sup> Chaotic

برای اولین بار در سال ۲۰۰۲، از توزیع آماری سیگنال گفتار جاسازی شده در RPS با استفاده از روش هیستوگرام، برای رده بندی واج های مجزا<sup>۱</sup> در مجموعه دادگان TIMIT استفاده شد (Ye, 2002). سپس در (Ye, 2003) استفاده از آنالیز مؤلفه های اساسی (PCA) در معتمد کردن و کاهش عُد سیگنال جاسازی شده در فضای فاز بررسی شد. در ادامه با استفاده از تحلیل پویای تولید گفتار در RPS، روشی برای رده بندی واکه ها بر مبنای فاصله اندازه گیری شده بین جاذب های<sup>۲</sup> هر واج در فضای فاز مطرح شد (Liu, 2003). همچنین لیند گرن با استفاده از ویژگی های استخراج شده از سیگنال گفتار جاسازی شده در فضای RPS، یک سامانه بازشناسی گفتار واج مجزا بر روی مجموعه دادگان TIMIT معرفی کرد (Lindgren, 2003). مشابه این سامانه، از یک مجموعه مدل مخلوط گوسی<sup>۳</sup> (GMM) برای مدل سازی (Povinelli, 2004&2006) در (Indrebo, 2006) یک روش جدید ترکیبی با استفاده از فضای بازسازی شده فاز اعمال شده بر روی زیر باندهای به دست آمده از تجزیه فیلتر بانکی سیگنال، برای طبقه بندی سیگنال گفتار ارائه شد. از طرف دیگر در (Narayanan 2012; Thasleema 2012) نیز طبقه بندی واحد های CV گفتاری با توسعه روشی مبتنی بر هیستوگرام (SSPD) و طبقه بندی کننده های شبکه عصبی مصنوعی (ANN) و ماشین بودار پشتیبان (SVM) پیشنهاد شده است.

در (جعفری، ۱۳۸۹) و (Jafari, 2010; Jafari, 2012) چند نوع بودار ویژگی ترکیبی پیشنهاد شده است که عناصر آن مخلوطی از ویژگی های متداول MFCC و ویژگی های خاص استخراج شده از RPS هستند. در این روش، ویژگی های مبتنی بر RPS از پارامترهای GMM یادگرفته شده از توزیع سیگنال جاسازی شده در RPS و یا قطع پوانکاره<sup>۴</sup> آن به دست آمده اند. سپس با انتخاب برخی پارامترهای مدل GMM تعلیم یافته، بودار ویژگی نهایی تولید شده است. متأسفانه هزینه محاسباتی بالا در پیاده سازی این روش ها یکی از نقاط ضعف اساسی آنها به شمار می رود.

در همین اواخر در (Shekofteh, 2013) روشی پیشنهاد شد تا ویژگی های مناسبی از RPS استخراج شود که علاوه بر هزینه محاسباتی و کارایی مناسب آن، قابلیت

(Takens, 1980). بر مبنای این روش ها، ثبت یک متغیر زمانی از رفتار سامانه پویا می تواند برای کسب اغلب خواص پویایی<sup>۵</sup> آن سامانه "کافی" باشد (Kantz, 1997). در نتیجه با انتقال سیگنال گفتار به حوزه RPS، می توان امید داشت که اطلاعات بیشتر و متمایز کننده تری از آن نسبت به دیگر روش های متداول استخراج کرد.

از همین اواخر تحقیقات متعددی در حوزه پردازش سیگنال گفتار بر مبنای استفاده از روش جاسازی سیگنال گفتار در RPS انجام شده است (Narayanan, 1995; Lindgren, 2004). اساس این تحقیقات، نمایش و استخراج اطلاعات مربوط به حوزه RPS سیگنال گفتار است که می تواند حاوی اطلاعات متمایز کننده تری نسبت به روش های متداول آنالیز سیگنال گفتار (مانند روش های استخراج Davis, ویژگی MFCC و PLP که مبتنی بر طیف هستند (Hermansky, 1990) باشد. بخشی از این اطلاعات متمایز متأثر از مشخصه هایی است که به واسطه حذف اطلاعات فاز در روش های استخراج ویژگی مبتنی بر اندازه طیف سیگنال از بین رفته اند. با اینکه برخی از تحقیقات الهام گرفته شده از دستگاه شنوایی انسان ادعا می کنند که دستگاه شنوایی انسان به اطلاعات فاز سیگنال حساس نیستند؛ اما برخی تحقیقات منتشر یافته اخیر، نشان دهنده مؤثر بودن اطلاعات فاز در سامانه بازشناسی گفتار است (Paliwal, 2005; Hegde, 2007; Alsteris, 2007)

در حوزه پردازش سیگنال گفتار، برخلاف انجام تحقیقات متعدد با روش جاسازی، متأسفانه تاکنون روش های محدودی برای استفاده از قابلیت آن در سامانه های بازشناسی گفتار پیوسته ارائه شده است. عمدۀ فعلی های صورت گرفته در این حوزه، شامل استخراج ویژگی های آشوب گونه مانند بُعد همبستگی<sup>۶</sup>، بُعد فرکتال<sup>۷</sup>، بُعد فرکتال تعییم یافته<sup>۸</sup> و نمایه ای لیاپانوف<sup>۹</sup> برای رده بندی واجی است (Yu, 2006). در (Pitsikalis, 2002&2009; Vaziri, 2010) دو مشخصه جدید از سیگنال جاسازی شده در RPS معرفی شده است. این ویژگی ها مقادیر عددی هستند که مقدار جایه جایی و دایروی بودن مسیر تراز کتوری سیگنال در فضای فاز را بازنمایی می کنند.

<sup>6</sup> Isolated Phoneme

<sup>7</sup> Attractor

<sup>8</sup> Gaussian Mixture Model

<sup>9</sup> Poincare Section

<sup>1</sup> Dynamic

<sup>2</sup> Correlation Dimension

<sup>3</sup> Fractal Dimension

<sup>4</sup> Generalized Fractal Dimension

<sup>5</sup> Lyapunov Exponents

به علاوه در این مقاله عمل کرد روش پیشنهادی در حالت استفاده از اطلاعات تمامی مانیفولد های گفتاری واج بررسی شده است. در نهایت بوسیله سامانه بازناس می توانی بر شبکه عصبی و تخمین خروجی های احتمال پسین آن، روش های متنوعی از ترکیب<sup>۶</sup> خروجی سامانه ها و ساختار TANDEM در جهت بهبود کارایی ASR بررسی شده است.

ادامه مقاله به این صورت شکل یافته است: در بخش دوم تئوری جاسازی سیگنال در RPS معرفی خواهد شد. بخش سوم مدل سازی مانیفولد های گفتاری را شرح می دهد. در بخش چهارم روش استخراج ویژگی پیشنهادی آورده شده است. بخش پنجم و ششم به ترتیب روش بازناسی و مجموعه دادگان مورد استفاده را معرفی می کنند. در بخش هفتم نتایج آزمایش های مربوط به سامانه بازناس پایه ارائه شده است. بخش های هشتم و نهم به ترتیب شامل معرفی روش های ترکیب و ارائه نتایج آزمایش ها است. در انتهای نیز نتیجه گیری مقاله آورده شده است.

## ۲- جاسازی سیگنال در فضای بازسازی شده فاز

جاسازی سیگنال تک متغیره زمانی به وسیله روش محور های تأخیری<sup>۷</sup> بر مبنای تشوری های مطرح شده در (Takens, 1980) و (Sauer, 1991) است. در این روش، پس از تعیین پارامترهای مناسب تأخیر زمانی و بعد جاسازی، نمونه های سیگنال زمانی اولیه را می توان به گونه ای به فضای چند بعدی RPS انتقال داد که مشخصه پویای واقعی سامانه تولید کننده سیگنال، به صورت مناسب در آن فضا نمایش داده شود (Kantz, 1997). در ادامه، روش جاسازی سیگنال یک بعدی در فضای با بعد بالاتر بیان می شود:

فرض کنیم که سری زمانی  $s = \{s[1], \dots, s[N]\}$  با تعداد  $N$  نمونه های سیگنال زمانی یک قاب گفتاری<sup>۸</sup> باشد. متناظر با این سری زمانی، یک مجموعه متوالی از نقاط جاسازی شده در فضای چند بعدی RPS تعریف می شود. به عنوان مثال می توان  $[i:N]$  را به عنوان نمونه ۳ام جاسازی شده در فضای RPS با رابطه (۱) به صورت یک بردار  $\mathbf{s}$  بعدی نشان داد:

$$\mathbf{s}[i] = [s[i], s[i + \tau], \dots, s[i + (d - 1)\tau]], \quad (1)$$

<sup>6</sup> Combination  
<sup>7</sup> Delay-Coordinate

سال ۱۳۹۲ شماره ۱ پیاپی ۱۹

استفاده در سامانه های بازناسی گفتار پیوسته را داشته باشند. این روش بر مبنای جاسازی سیگنال زمانی گفتار در فضای RPS (که علاوه بر اطلاعات دامنه و فاز سیگنال حاوی اطلاعات مانیفولد های گفتاری است) بود که در آن بایستی یک سری مدل های از پیش تعیین یافته گفتاری مرجع آماده شوند. این مدل ها که می توان آنها را "مانیفولد" یا "جادب"<sup>۹</sup> گفتاری تلقی کرد، وظیفه مدل سازی توزیع نمونه های هر یک از واحد های گفتاری واجی را در RPS بر عهده دارد. سپس برای هر قاب گفتاری، ویژگی های PPRPS، بر مبنای رابطه بیز و محاسبه مقدار شباهت (درست نمایی شرطی<sup>۱۰</sup>) نمونه های قاب گفتاری جاسازی شده در RPS با هر یک از مدل های مرجع محاسبه شده است. بنابراین بعد بردار ویژگی PPRPS برابر با تعداد کل مدل های مرجع گفتاری است. در (Shekofteh, 2013) نشان داده شد که استفاده از این ایده منجر به بهبود عمل کرد سامانه بازناسی واج مجزا در مقایسه با روش ارائه شده در (Povinelli, 2006) می شود. همچنین کاربرد این روش برای استفاده در سامانه بازناسی گفتار پیوسته با مدل مخفی مارکوف<sup>۱۱</sup> (HMM) و با مجموعه مجموعه محدودی از مانیفولد های انتخاب شده واجی بررسی شده است. برای انجام این کار نگاشت خطی آنالیز متمايزگر (LDA) بر روی تعدادی ویژگی اعمال شده است.

در (Furui, 1986) نشان داده شده است که با توجه به ماهیت پویای گفتار، استخراج اطلاعات دینامیک از توالی بردارهای ویژگی گفتاری می تواند بهبود چشم گیری در کارایی سامانه های بازناسی گفتار داشته باشد. متأسفانه یکی از مشکلات روش پیشنهادی در (Shekofteh, 2013) عدم تولید ویژگی های مناسب پویا در مقایسه با ویژگی های پویای به دست آمده از روش های متداولی مانند MFCC (ضرایب دلتا و دلتادلتا) است. از این رو در این مقاله برای استخراج مناسب تر اطلاعات پویا، استفاده از ساختار شبکه عصبی با ورودی قطعه های<sup>۱۲</sup> پیشنهاد شده است که شامل توالی چندین بردار ویژگی از قاب های گفتاری است. همچنین ساختار شبکه عصبی مورد استفاده منجر به یادگیری الگوهای زمانی<sup>۱۳</sup> و ترکیب غیرخطی تمامی ویژگی های ورودی شده و تخمین مناسبی از احتمال پسین طبقه های واج<sup>۱۴</sup> گفتاری در خروجی خود تولید خواهد کرد.

<sup>1</sup> Conditional Likelihood

<sup>2</sup> Hidden Markov Model

<sup>3</sup> Segmental

<sup>4</sup> Temporal Pattern

<sup>5</sup> Phoneme Classes

کلاس‌های واجی رفتاری بین موارد اشاره شده امکان‌پذیر است (Banbrook, 1996; Indrebo, 2006).

### ۳- مدل سازی مانیفولدهای گفتاری در فضای بازسازی شده فاز

در (Povinelli, 2006) یک سیستم بازشناسی واج مجزاً براساس مدل سازی آماری توزیع نقاط تراژکتوری سیگنال گفتار در RPS توسط پاوینلی پیشنهاد شده است. توالی زمانی تراژکتوری یک سیگنال در حوزه RPS منجر به تشکیل "مانیفولد گفتاری" می‌شود.

سیستم بازشناسی واج مجزای پیشنهاد شده توسط پاوینلی شامل دو مرحله تعلیم و آزمون بود. در مرحله تعلیم، برای هر یک از واج‌های گفتاری در RPS یک توزیع چندمتغیره پارامتری با استفاده از GMM آموزش داده می‌شد. برای این‌منظور در ابتدا متناظر با هر واج، کلیه سیگنال‌های مربوط به آن واج (از مجموعه داده‌های تعلیم) در فضای RPS جاسازی شده و سپس برای توزیع نقاط تشکیل شده در RPS یک مدل کلی GMM تعلیم داده می‌شد. استفاده از GMM باعث می‌شد که ساختار هندسی مانیفولد شکل‌یافته در RPS به صورت نرم مدل شود به عنوان مثال تصویری از مدل سازی GMM مانیفولد واج واکدار  $u/u$  در RPS دو بعدی در شکل (۲) نشان داده شده است.

پس از تعلیم مدل‌های GMM که دربردارنده اطلاعات هندسی مانیفولد هر واج در RPS است؛ پاوینلی از معیار بیشیله درست نمایی<sup>۳</sup> برای طبقه‌بندی در مرحله آزمون استفاده کرده است که در رابطه (۳) آورده شده است:

$$\hat{c} = \arg \max_{i=1, \dots, K} p(\mathbf{X} | c_i),$$

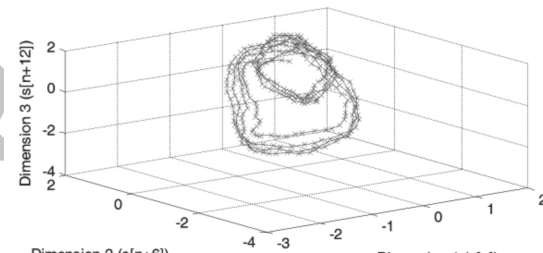
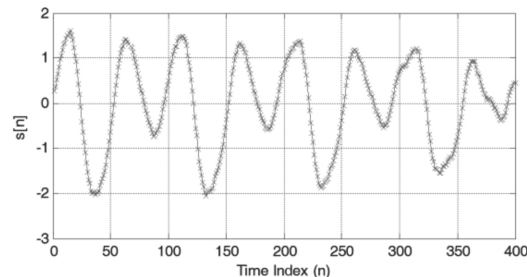
$$p(\mathbf{X} | c_i) = \frac{1}{L} \sum_{n=1}^L \log p(\mathbf{x}_n | c_i), \quad (3)$$

که در آن  $K$  تعداد کل مدل‌های واجی GMM (که هر کدام متناظر با یک کلاس واجی  $c_i$  هستند) و  $L$  تعداد نقاط جاسازی شده در RPS است. ماتریس  $\mathbf{X}$  نیز شامل تعداد  $L$  نمونه جاسازی شده  $\mathbf{x}_n$  در فضای RPS است که معمولاً حاوی اطلاعات ماتریس تراژکتوری  $S$  و مشتقات زمانی آن،  $\Delta S$  می‌باشد (Lindgren, 2003). همچنین مقدار درست

به طوری که پارامتر  $d$ ، بعد جاسازی و پارامتر  $\tau$  معادل با زمان تأخیر است. واضح است که برای یک قاب با طول  $N$ ، تعداد نقاط جاسازی شده در حوزه RPS به صورت زیر است:

$$L = N - (d - 1)\tau, \quad (2)$$

روش‌های مختلفی برای انتخاب مقدار بهینه بعد جاسازی و تأخیر زمانی وجود دارد (Kennel, 1992; Abarbanel, 1996; Povinelli, 2004; Johnson, 2005). یک انتخاب مناسب برای سیگنال گفتار میکروفونی با نرخ نمونه‌برداری شانزده کیلوهرتز، مقادیر  $d=8$  و  $\tau=6$  است (Jafari, 2010). در شکل (۱) نمونه‌ای از یک قاب سیگنال گفتار (شامل واج  $u/u$ ) و همچنین تراژکتوری متناظر با آن را که در فضای سه بعدی RPS جاسازی شده‌اند، نشان می‌دهد.



(شکل ۱) - واکه  $u/u$  در نمایش معمولی تک‌بعدی (شکل بالا) و نمایش تراژکتوری سه‌بعدی آن (شکل پایین) با روش جاسازی در RPS.

رفتار تراژکتوری سیگنال گفتار در فضای RPS برای اکثر واج‌های واکدار مشابه با فرآیند قبض<sup>۱</sup> در سیگنال‌های آشوبی است. به عنوان مثال در شکل (۱) نمونه‌ای از این رفتار برای تراژکتوری واج واکدار  $u/u$  نشان داده شده است. نتیجه این رفتار تولید مانیفولدهایی با الگوهای خاص و مشخص در RPS خواهد بود. از طرف دیگر برای واج‌های گفتاری انفجاری (مانند واج های  $/b/t/$  و  $/t/b/$ ) رفتار بسط<sup>۲</sup> سیگنال آشوبی در فضای فاز قابل مشاهده است. برای سایر

<sup>3</sup> Isolated Phoneme Recognition

<sup>4</sup> Max-Likelihood

<sup>1</sup> Folding Or Squeezing

<sup>2</sup> Stretching

## ۴- محاسبه تخمین احتمال پسین واجی در بازشناسی گفتار به وسیله ویژگی‌های مبتنی بر RPS

در این مقاله، مبنای روش استخراج ویژگی مبتنی بر RPS،  
براساس ایده‌ای در توسعه روش پاوینی است. متأسفانه روش  
پاوینی به انحصار قابلیت استفاده در کاربرد بازشناسی واج  
مجزا دارد. اما با روش توسعه‌ای مطرح شده در (Shekofteh,  
2013)، توانایی استفاده از این روش در کاربرد بازشناسی  
گفتار پیوسته حاصل شده است.

همان طور که در رابطه (۳) در بخش (۳) دیدیم، در مرحله آزمون سامانه پاوینلی، به تعداد کلاس‌های واجی موجود، امتیاز آکوستیکی درستنمایی تولید خواهد شد. سپس مدل واجی که بالاترین امتیاز درستنمایی را به دست وردی باشد، به عنوان کلاس واج برنده انتخاب می‌شود. نتایج این در بخش تصمیم‌گیری روش پاوینلی، از اطلاعات RPS هر مدل واجی به طور مستقل در تعیین طبقه واجی برنده استفاده می‌شود.

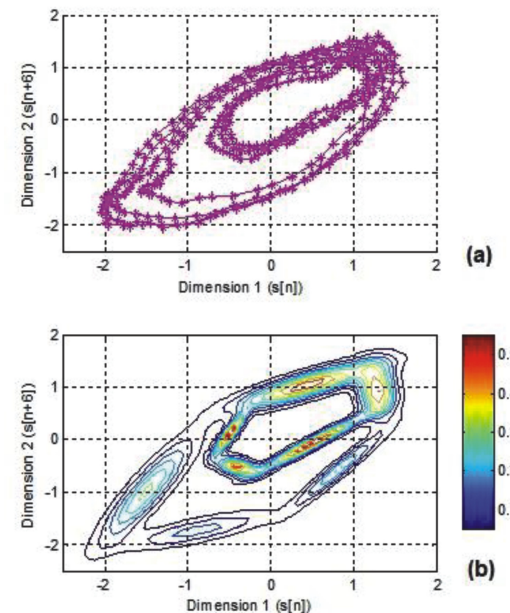
ایده مطرح شده در توسعه این روش، پیشنهاد استفاده همزمان از زیرمجموعه‌های از امتیازهای درستنمایی به دست آمده از مانیفولد های واجی، به عنوان یک بردار ویزگی مناسب است. با این روش می‌توان به راحتی از اطلاعات مانیفولد های گفتاری در RPS در پیاده‌سازی سامانه‌های پارشناسی گفتار پیوسته استفاده کرد.

از آنجا که هر یک از مؤلفه‌های بردار ویژگی به دست مده از RPS دارای اطلاعات هم‌بسته با یکدیگر هستند، تنخاب یا ترکیب مناسب این ویژگی‌ها برای تولید اطلاعات غنی‌تر مفید به نظر می‌رسد. یک روش مناسب برای دستیابی به این هدف، تبدیل بردارهای ویژگی اولیه به تخمين مناسبی از احتمالات پسین واجی است که در همین اواخر به طور گسترده در کاربرد بازشناسی گفتار مطرح شده است (Park, 2011; Pinto, 2011; Ikbal, 2012). در اینجا استفاده از ساختار یک شبکه عصبی که قابلیت یادگیری الگوهای زمانی را دارد، برای تخمين احتمالات پسین پیشنهاد شده است. در شکل (۳) روند نمای روش پیشنهادی آورده شده

نمایی ( $x_n | c_i$ ) برای تعداد M گوسین مدل مخلوط گویی (GMM) از رابطه (۴) محاسبه می‌شود:

$$p(\mathbf{x}_n \mid c_i) = \sum_{m=1}^M \omega_m^i N(\mathbf{x}_n; \boldsymbol{\mu}_m^i, \boldsymbol{\Sigma}_m^i), \quad (4)$$

که در آن  $N(\mathbf{x}_n; \mu_m^i, \Sigma_m^i)$  نشان‌دهنده درستنمایی مؤلفه  $\mathbf{m}$  توزیع گوسی با وزن  $i$  از کلاس واج  $\mathbf{z}$  است.



(شکل ۲) - (a) توزیع ترازکتوری مانیفولد واج /u/ نشان داده شده در شکل (۱) در فضای RPS دو بعدی. (b) مدل سازی تابع چگالی احتمال آن به وسیله یک مدل GMM تعداد هشت مؤلفه گوسی.

جانسن در (Johnson, 2005) نشان داد که قدرت تمايزگری میان روش های متداول کپسیتروم MFCC است؛ اما با استفاده از روش ترکیب جمع وزن دار در سطح خروجی دهنده کننده ها (ادغام امتیاز درستنمایی به دست آمده از روش ترکیب جمع وزن دار در سطح خروجی) می توان این امتیاز را در حوزه RPS با امتیاز درستنمایی حاصل شده از روش ترکیب جمع وزن دار در سطح خروجی دهنده ها (MFCC) کارایی سامانه بازشناسی واج مجزا بر روش ترکیب جمع وزن دار در سطح خروجی دهنده ها (MFCC) کارایی مؤید هم افزا بودن اطلاعاتی است که توسط روش استخراج ویژگی MFCC و ویژگی های حوزه RPS به دست مدها ند.

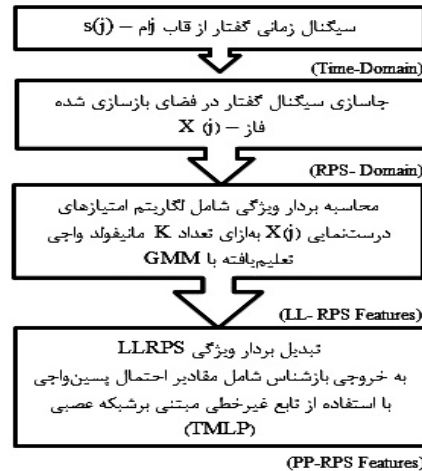
(حجم محاسبات) و دقّت سامانه بازشناسی خواهد بود. پس از محاسبه امتیازات درستنمایی، بردار ویژگی اولیه LLRPS( $j$ ) برای قاب گفتاری  $\mathbf{z}$  به صورت زیر حاصل می‌شود:

$$LLRPS(j) = \begin{bmatrix} p(\mathbf{X}(j) | c_1) \\ p(\mathbf{X}(j) | c_2) \\ \vdots \\ p(\mathbf{X}(j) | c_K) \end{bmatrix}. \quad (5)$$

از آنجا که ماهیت ویژگی‌های تولیدشده مبتنی بر لگاریتم درستنمایی<sup>۳</sup> (LL) است، به اختصار آن را LLRPS می‌نامیم. مرحله سوم: تخمین مقادیر احتمال پسین واجی با استفاده از ساختار شبکه عصبی؛

در این مرحله از یک ساختار شبکه عصبی جلوسو برای ترکیب غیرخطی تمامی ویژگی‌های LLRPS و تخمین مقادیر احتمال پسین<sup>۴</sup> واجی استفاده شده است. همچنین ساختار شبکه مورد استفاده، به گونه‌ای طراحی می‌شود که ورودی آن قطعه‌ای و شامل چند بردار ویژگی متوالی باشد تا بتواند به طور همزمان اطلاعات پویای گفتاری و الگوهای زمانی مربوط به آن را از روی توالی بردارهای ویژگی ایستا<sup>۵</sup> متوالی استخراج کند.

نحوه تعلیم شبکه عصبی هم به گونه‌ای است که در خروجی آن تخمینی از مقدار احتمال پسین (PP) طبقه واجی متناظر با بردار ویژگی ورودی (LLRPS) از قاب گفتاری میانی قطعه ورودی به شبکه عصبی را تولید کند. از این رو بردار تولیدشده در خروجی شبکه را PPRPS می‌نامیم. در این مقاله برای به دست آوردن تخمین احتمال پسین، از مدل شبکه عصبی TMLP<sup>۶</sup> استفاده شده است که ساختار آن الهام گرفته شده از خاصیت تونوتوبیک دستگاه شنوایی انسان است (Chen, 2005). ساختار این شبکه باعث می‌شود که توالی زمانی هر یک از ویژگی‌های ورودی در لایه‌های پایینی شبکه به طور مستقل پردازش شده و سپس اطلاعات به دست آمده از آنها در لایه‌های بالاتر آن ترکیب شوند. این ساختار شبکه عصبی به یادگیری بهتر الگوهای زمانی از هر یک از ویژگی‌های ورودی به شبکه کمک می‌کند. در (شکfteh, ۱۳۸۶) نشان داده شد که قدرت یادگیری این مدل تمایزی<sup>۷</sup> از شبکه‌های عصبی متداول MLP و یا TDNN



شکل (۳) – روندnamای روش پیشنهادی

روندnamای شکل (۳) شامل مراحل زیر است:

مرحله اول: جاسازی سیگنال زمانی گفتار در RPS

در اینجا برای فرآیند جاسازی سیگنال در فضای RPS، از مقادیر  $d=8$  و  $\tau=6$  استفاده شده است. به طور متداول نمونه‌های سیگنال قبل از جاسازی در RPS، بهنگار می‌شوند (Povinelli, 2004). اعمال روش‌های هنجارسازی باعث می‌شود که اثر شدت یا همان اندازه دامنه سیگنال گفتار ضبطشده کمرنگ شده و تنها شکل هندسه سیگنال مورد بررسی قرار گیرد. از طرفی دیگر، اعمال روش‌های هنجارسازی منجر به قرارگیری مانیفولد‌های گفتاری در محدوده نسبتاً مشخصی از RPS خواهند شد که باعث مقاوم‌سازی<sup>۱</sup> ویژگی‌های استخراج شده از آن می‌شود. در این مقاله نمونه‌های هر قاب گفتاری به گونه‌ای بهنگار می‌شوند که مقدار میانگین نمونه‌ها صفر و انحراف معیار آن‌ها برابر با مقدار واحد شود.

مرحله دوم: محاسبه بردار ویژگی اولیه شامل امتیاز درست نمایی متناظر با هر مدل مانیفولد واجی مبتنی بر GMM

در این مرحله، از رابطه (۳) برای محاسبه امتیازات درستنمایی از هر مدل مانیفولد واجی برای سیگنال قاب زام گفتاری جاسازی شده در RPS،  $X(j)$  استفاده خواهد شد. بنابراین بایستی مشابه با روش پاوینلی، در یک مرحله جداگانه تعلیم، به تعداد واجهاتی مجموعه دادگان ( $K=30$ ) مدل GMM از روی داده‌های تعلیم آموزش داده شود. در (Shekofteh, 2013) نشان دادیم که استفاده از GMM با مؤلفه گوسی ( $M=4$ ) مصالحة مناسبی بین زمان پردازش

<sup>2</sup> Log Likelihood

<sup>3</sup> Posterior Probability

<sup>4</sup> Static

<sup>5</sup> Tonotopic Multi Layer Perceptron

<sup>6</sup> Discriminative

<sup>1</sup> Robustness

صفر دارند (Tohidypour, 2012). اگر الگوریتم تعلیم شبکه براساس کمینه‌سازی میانگین مجذور خطأ<sup>۳</sup> (MSE) باشد، تخمینی از مقدار احتمالاتی پسین طبقه‌های واجی در خروجی شبکه به شرط قطعه قاب‌های گفتاری ورودی اعمال شده به آن تولید خواهد شد (White, 1989; Zavaliagkos, 1994).

## ۵- روش بازشناسی گفتار

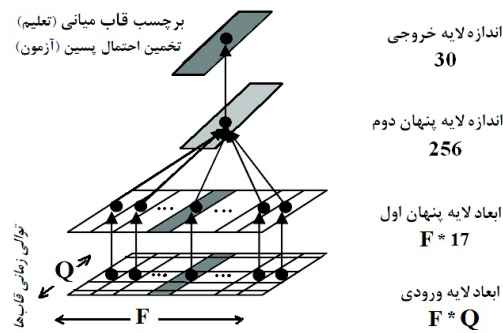
با توجه به استفاده روش پیشنهادی از مدل شبکه عصبی به عنوان یک تخمین‌زننده مقدار احتمال پسین واجی، در این حالت سامانه بازشناسی گفتار می‌تواند در چارچوب‌های متنوعی پیاده‌سازی شود که در ادامه به شرح هر یک از آنها خواهیم پرداخت:

### ۱-۵ بازشناسی گفتار به وسیله مقدار احتمالات پسین واجی تخمین زده شده در خروجی مدل شبکه عصبی

در این حالت ارزیابی عمل کرد سامانه بازشناسی گفتار با دو معیار دقّت بازشناسی در سطح آوایی قاب (frame) و واج (phoneme) انجام خواهد شد. دقّت بازشناسی قاب، به‌طور مستقیم از خروجی احتمال پسین به‌دست آمده از هر قاب گفتاری قابل محاسبه است؛ به این صورت که طبقه واجی متناظر با نرونی از خروجی شبکه که بیشترین مقدار احتمال پسین را داشته باشد، به عنوان برچسب واج بازشناسی شده برای قاب متناظر با آن در ورودی شبکه در نظر گرفته می‌شود. از این رو معیار درصد دقّت بازشناسی قاب به صورت نسبت تعداد قاب‌های گفتاری درست تشخیص داده شده به تعداد کل قاب‌های گفتاری مورد استفاده تعريف می‌شود (Tohidypour, 2012).

برای محاسبه دقّت بازشناسی در سطح آوایی واج، از اعمال الگوریتم ویتری بروی بردارهای متوالی خروجی شبکه عصبی که حاوی تخمینی از مقدار احتمال پسین هستند مشابه با (Pinto, 2011) استفاده خواهد شد. در این روش فرض می‌کنیم که هر واج با یک مدل چندhaltه HMM مدل شده است که مقدار درستنمایی انتشاری<sup>۴</sup> تمامی حالات<sup>۵</sup> آن با یکدیگر یکسان و برابر با مقدار خروجی مقیاس<sup>۶</sup> شده، احتمال پسین به‌دست آمده از نرون خروجی

(رحمی نژاد، ۱۳۸۲) در کاربرد بازشناسی گفتار بیشتر است. بنابراین در این مقاله از ساختار شبکه عصبی TMLP استفاده شده است که در شکل (۴) نمایش داده شده است.



شکل (۴)- ساختار شبکه عصبی TMLP با توالی  $Q=21$  قاب گفتاری و بردار ویژگی  $F$  بعدی ورودی برای هر قاب گفتاری.

در ساختار شبکه عصبی TMLP مورد استفاده، یک قطعه از بردارهای ویژگی متوالی (در اینجا تعداد  $Q$  قاب متوالی گفتاری) به ورودی شبکه اعمال خواهد شد تا طبقه واجی متناظر با قاب میانی ورودی آن به وسیله یک برچسب باینری در خروجی شبکه عصبی پیش‌بینی شود. همچنین هر یک از بردارهای ویژگی ورودی دارای  $F$  (در اینجا  $F=K=30$ ) و معادل با تعداد واج‌های دادگان می‌باشد) است. ساختار شبکه عصبی TMLP، برای توالی  $Q=21$  قاب از بردارهای ویژگی ورودی LLRPS (با بعد ۳۰) به صورت زیر در نظر گرفته شده است:

$$30*(21*17)-256*30+(17*256)-256*30$$

که در برگیرنده اطلاعات پویا از مجموعه ۲۱ قاب گفتاری متوالی (بیش از ۲۰۰ میلی‌ثانیه) است. انتخاب اندازه لایه‌های پنهان شبکه براساس بیشینه‌سازی دقّت بازشناسی بر روی داده‌های اعتبارسنجی<sup>۷</sup> و رعایت نسبت تعداد پارامترهای شبکه به تعداد پارامترهای داده تعلیم (برای جلوگیری از برازش بیش از حد<sup>۸</sup> شبکه) انجام شده است. در اینجا برای تعلیم شبکه TMLP، از برچسب‌دهی کدشده باینری نوع سخت (One-Hot) استفاده شده است (رحمی نژاد، ۱۳۸۲؛ ولی، ۱۳۸۵). در این نوع برچسب‌دهی، یک خروجی ۳۰ نرونی (به تعداد طبقه‌های واجی) به عنوان خروجی مطلوب شبکه تعریف می‌شود که یک نرون آن حاوی مقدار یک (متناظر با برچسب طبقه واجی مربوط به قاب میانی مجموعه بردار ورودی) و بقیه نرون‌های آن مقدار

<sup>3</sup> Mean Square Error

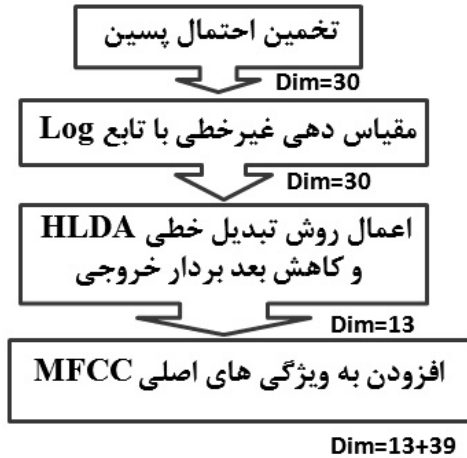
<sup>4</sup> Emission Likelihood

<sup>5</sup> States

<sup>6</sup> Sclaeed

<sup>1</sup> Validation

<sup>2</sup> Over-Training



(شکل ۵) - بلوک دیاگرام ساختار TANDEM در تولید بردار GMM/HMM ویژگی گفتاری مورد استفاده در مدل‌سازی صوتی.

در اینجا پیاده‌سازی مدل‌سازی صوتی GMM/HMM توسط جعبه ابزار HTK انجام شده است (HTK, V.3.4). همچنین از واحدهای آوایی سه واجی<sup>۴</sup> گرده شده برای مدل‌سازی صوتی استفاده شده است (Sameti, 2011). در این حالت ارزیابی عمل کرد سامانه در سطح آوایی واج و با معیار NIST (رابطه ۶) انجام خواهد شد.

## ۶- مجموعه دادگان

دادگان گفتاری مورد استفاده در این مقاله از مجموعه "دادگان فارس‌داد کوچک میکروفونی" با حجم زمانی حدود شش ساعت است که نرخ نمونه‌برداری آن به ۱۶kHz تقلیل یافته است (FARSDAT). این دادگان شامل جملات پیوسته بیان شده از ۳۰۴ نفر گوینده زن و مرد است که هر نفر تعداد بیست جمله را به زبان فارسی بیان کرده‌اند. جملات دادگان شامل برچسب‌دهی آوایی<sup>۵</sup> با ۴۳ برچسب مختلف (بدون سکوت) است. در کار حاضر با تجمعیت تعدادی از برچسب‌ها با یکدیگر، از تعداد سی برچسب واجی<sup>۶</sup> ۲۹ واج متداول فارسی به همراه یک برچسب سکوت؛ (K=30) استفاده شده است (Bijankhan, 2003).

به ۲۲۰ گوینده اول در بخش تعلیم مدل بازنیانس، داده‌های ۵۴ گوینده آخر در بخش آزمون و برای بخش توسعه (Development) و اعتبارسنجی مدل شبکه عصبی و الگوریتم ویتری<sup>۷</sup> نیز از داده‌های سی گوینده باقیمانده فارس‌داد استفاده شده است.

<sup>4</sup> Triphone

<sup>5</sup> Phonetic Labeling

شبکه عصبی متناظر با آن واج است. از این‌رو می‌توان این روش را مشابه با پیاده‌سازی روش هایبرید HMM/ANN (Bourlard, 1994) تلقی کرد.

در خروجی الگوریتم ویتری، دنباله‌ای از چند واج متوالی تولید خواهد شد که بالاترین احتمال وقوع را دارند. در اینجا برای گذر بین واج‌های مختلف، مقدار احتمال یکسان در نظر گرفته شده است که معادل با عدم استفاده از مقدار احتمالات مدل زبانی با یک‌گرم<sup>۸</sup> واجی در سامانه بازنیانسی گفتار پیوسته است. همچنین مقدار بهینه جریمه درج<sup>۹</sup> واج در الگوریتم ویتری، با داده‌های توسعه<sup>۱۰</sup> تعیین شده است. وظیفه جریمه درج، جلوگیری از پرش سریع خروجی الگوریتم بین واج‌های مختلف است که منجر به کاهش تعداد درج واج و درنتیجه افزایش مقدار دقّت بازنیانسی خواهد شد. این فرآیند با اضافه کردن یک جریمه (در اینجا یک مقدار منفی) به مقدار لگاریتم درست‌نمایی انباسته شده واج‌هایی غیر از واج شناسایی شده فعلی انجام می‌شود. با استفاده از معیار NIST، درصد دقّت بازنیانسی واج نهایی از رابطه زیر محاسبه می‌شود:

$$\%Phoneme\ Accuracy = \frac{A-D-I-S}{A} * 100 \quad (6)$$

که در آن A تعداد واج‌های موجود در برچسب داده مرجع، D تعداد واج‌های حذف شده، I تعداد واج‌های درج شده و S تعداد واج‌های جانشین شده است.

## ۵-۲- بازنیانسی گفتار با مدل مخفی مارکوف (HMM) در ساختار TANDEM

در روش TANDEM، از مقادیر تخمین احتمال پسین واجی که در خروجی شبکه عصبی تولید شده است، به عنوان بردار ویژگی خام و اولیه برای تولید ویژگی گفتاری مناسب در مدل‌سازی صوتی مبتنی بر GMM/HMM استفاده می‌شود (Hermansky, 2000; Zhu, 2004; Iqbal, 2012) (۵) ساختار TANDEM مورد استفاده در این مقاله برای تولید بردار ویژگی گفتاری پس‌پردازش شده نشان داده شده است.

فصل نهم  
پردازش داده

<sup>1</sup> Bigram

<sup>2</sup> Insertion Penalty

<sup>3</sup> Development

اضافه شده به ویژگی متداول MFCC39 هستند، آورده شده است.

همان‌طور که از نتایج جدول (۱) مشاهده می‌شود، کارایی مدل بازناس HMM (با ویژگی‌های متداول MFCC) از مدل بازناس مبتنی بر شبکه عصبی TMLP (با ویژگی‌های متداول MFCC) حدود سه درصد در دقّت بازناسی واج بهتر است. همچنین در بین نتایج به دست آمده از مدل بازناس شبکه عصبی، بردار ویژگی MFCC39 که حاوی اطلاعات ایستا و پویای گفتاری است، بالاترین درصد بازناسی قاب و واج را به دست آورده است؛ این در حالی است که در این آزمایش بردار ویژگی‌های LLRPS و MFCC13 به انحصار شامل اطلاعات ایستای هر قاب گفتاری هستند. البته لازم به ذکر است که ساختار شبکه عصبی TMLP که در آن از مجموعه چندین قاب متوالی در ورودی خود استفاده می‌کند، قابلیت استخراج اطلاعات پویا را دارد، با این وجود نتایج به دست آمده از جدول (۱) نشان می‌دهد که استفاده مجزا از اطلاعات دینامیک در بردار ویژگی MFCC39، به ترتیب منجر به بهبود ۱/۷۵٪ و ۰/۲۵٪ در نتایج دقّت بازناسی قاب و واج نسبت به روش MFCC13 شده است. همچنین مدل بازناس TMLP با بردار ویژگی ورودی LLRPS دقّت بازناسی واج ۶۲/۶۰٪ را کسب کرده است که بیان گر کارایی پایین‌تر آن نسبت به روش متداول MFCC است.

از طرف دیگر نتیجه سطر آخر جدول (۱) نشان می‌دهد که مدل سازی صوتی HMM با ویژگی‌های مبتنی بر TANDEM (PPRPS) محاسبه شده از روش RPS (که همان مقادیر احتمالاتی پسین پسپردازش شده از خروجی شبکه عصبی TMLP هستند)، توانسته است در حالت افزوده شدن به ویژگی‌های متداول MFCC، دقّت بازناسی واج ۷۵/۸۴٪ را کسب کند که بهبود کارایی حدود ۰/۰۶٪ نسبت به سامانه پایه شامل روش مدل‌سازی HMM و بردار ویژگی MFCC نشان می‌دهد.

## ۸- روش‌های ترکیب خروجی سامانه‌های بازناس

استفاده همزمان از بردارهای ویژگی متمایز که حاوی اطلاعات متفاوتی از یک سیگنال هستند، می‌تواند منجر به افزایش کارایی عمل کرد سامانه‌های بازناسی شود (Kittler, 1998; Morgan, 2004; Nejadgholi, 2009).

سال ۱۳۹۲ شماره ۱ پیاپی ۱۹

## ۷- آزمایش‌های سامانه‌های پایه

در این بخش به بررسی نتایج بازناسی به دست آمده از اعمال بردار ویژگی LLRPS به مدل بازناس شبکه عصبی خواهیم پرداخت. در جدول (۱) نتایج درصد دقّت بازناسی قاب و واج آن آورده شده است.

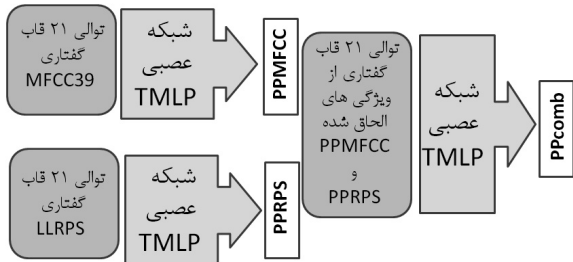
(جدول ۱) - مقایسه نتایج آزمون درصد دقّت بازناسی قاب و واج برای بردار ویژگی LLRPS، ویژگی متداول MFCC و روش TANDEM به وسیله مدل بازناس شبکه عصبی و یا مدل متداول HMM.

بازناس	ساختار مدل	بردار ویژگی ورودی	% دقّت بعد ویژگی	% دقّت قاب	% دقّت واج
۱	TMLP	TMLP	۳۰	۷۴/۲۷	۶۲/۶۰
۲	TMLP	TMLP	۱۳	۷۹/۲۳	۶۹/۶۷
۳	TMLP	TMLP	۳۹	۸۰/۰۸	۷۲/۲۵
۴	HMM	HMM	۳۹	-	۷۵/۲۲
۵	HMM	HMM	۱۳	-	۶۰/۰۵
۶	HMM	HMM	۵۲	-	۷۵/۸۴

همچنین در جدول (۱)، نتایج سامانه بازناسی پایه، شامل ویژگی‌های MFCC (به عنوان یک روش استخراج ویژگی پرکاربرد گفتاری) آورده شده است. برای محاسبه این نتایج بردار ویژگی ایستا MFCC، شامل سیزده ضریب کپستروم (MFCC13) و یا بردار ویژگی ایستا-پویا MFCC39، شامل سیزده ضریب کپستروم به همراه مشتقات زمانی اول و دوم آن (ضرایب دلتا و دلتادلتا) به ورودی شبکه عصبی TMLP اعمال شده است. سپس مشابه با روش الگوریتم ویتری بی مطرح شده در بخش ۴، نتایج بازناسی آن به وسیله مقدار احتمال پسین به دست آمده از خروجی شبکه (که در اینجا آنها را PPMFCC می‌نامیم) به دست آمده است.

در ردیف چهارم جدول (۱)، نتایج دقّت بازناسی واج به دست آمده از مدل سازی صوتی HMM با بردار ویژگی‌های MFCC39 (در حالت عدم استفاده از مدل زبانی بایگرم واجی در کدگشای آن) آورده شده است که به عنوان یک سامانه بازناس پایه، متداول و پرکاربرد مطرح است. همچنین در دو سطر آخر جدول ۱، نتایج دقّت بازناسی واج مدل سازی صوتی HMM با ویژگی‌های به دست آمده از روش TANDEM، که به ترتیب در حالات اضافه نشده یا

(PPRPS) استفاده می‌شود. در شکل (۶) نمای کلی این روش ترکیب غیرخطی نشان داده شده است.



(شکل ۶) - روند نمای کلی روش ترکیب غیرخطی مقادیر احتمال پسین بوسیله ساختار شبکه عصبی

پر واضح است که مشابه با مباحث مطرح شده در بخش ۴، خروجی این شبکه نیز تخمینی از مقدارهای احتمال پسین را تولید خواهد کرد. با توجه به شکل (۶)، این روش شامل دو طبقه شبکه عصبی است که در یک ساختار کلی سلسله‌مراتبی<sup>۱</sup> گنجانده شده‌اند. در این ساختار، شبکه‌هایی عصبی موجود در طبقه اول وظيفة استخراج تخمین اولیه مقادیر احتمال پسین (PPRPS و PPMFCC) را بر عهده دارند و تنها شبکه عصبی موجود در طبقه دوم مسئول ترکیب غیرخطی تخمین‌های اولیه و تولید مقدار احتمال پسین نهایی (PPcomb) است.

## ۹- آزمایش‌ها بر روی روش‌های ترکیب و بحث و بررسی نتایج به‌دست آمده

این بخش مشتمل بر آزمایش‌های انجام گرفته برای بررسی عمل کرد هر یک از روش‌های ترکیب اشاره شده در بخش (۸) است. در نمودار شکل (۷)، درصد دقت بازشناسی قابی برای روش‌های ترکیب جمع و ضرب وزن دار بر حسب تغییرات وزن  $w$  نشان داده شده است. پر واضح است که برای مقدار  $w=0$ ، خروجی ترکیب معادل خروجی روش MFCC39 و برای  $w=1$ ، خروجی ترکیب معادل خروجی روش LLRPS است.

<sup>۱</sup> Hierarchical

نشان خواهیم داد که چگونه با استفاده از روش‌های مناسب ترکیب، تخمین به‌دست آمده از مقادیر احتمالات پسین در خروجی شبکه‌های حاوی بردار ویژگی (LLRPS و PPMFCC) (که بالاترین نرخ بازشناسی را دربرداشت) قابلیت بهبود یافتن دارد. شواهد تجربی نشان می‌دهند که اگر ماهیت اطلاعات کسب شده در روش‌های استخراج ویژگی با یکدیگر متفاوت باشند، کارایی سامانه‌های بازشناسی به وسیله روش‌های ترکیب مناسب بهبود خواهد یافت (Johnson, 2005; Valente, 2010)

اکنون فرض کنیم که بردارهای (i) PPRPS و PPMFCC به ترتیب بردارهای شامل تخمین مقادیر احتمال پسین به‌دست آمده از خروجی شبکه‌های عصبی شامل ویژگی‌های LLRPS و MFCC39 برای قاب گفتاری آم باشند، در این صورت خروجی ترکیب شده مقدارهای احتمال پسین، (PPcomb(i)، می‌تواند به وسیله یکی از هفت روش ترکیب معرفی شده در ذیل حاصل شود:

۱- روش جمع وزن دار:

$$PPcomb(i) = w \times PPRPS(i) + (1-w) \times PPMFCC(i)$$

where  $0 \leq w \leq 1$

۲- روش ضرب وزن دار:

$$PPcomb(i) = PPRPS(i)^w \times PPMFCC(i)^{1-w}$$

where  $0 \leq w \leq 1$

۳- روش میانگین: حالت خاص روش ۱ با مقدار  $w=0.5$

۴- روش ضرب: حالت خاص روش ۲ با مقدار  $w=0.5$

۵- روش جمع وزن دار متناسب با آنتروپی:

$$PPcomb(i) = w_{rps}(i) \times PPRPS(i) + w_{mfcc}(i) \times PPMFCC(i)$$

$$\text{where } w_j(i) = \frac{h_j^{-1}(i)}{h_{rps}(i)^{-1} + h_{mfcc}^{-1}(i)}$$

که در آن  $h(i)$  مقدار آنتروپی به‌دست آمده از بردار مقادیر احتمال پسین از قاب گفتاری آم است (Misra, 2003; Kazemi, 2011).

۶- روش بیشینه (Max): در این روش برداری که حاوی بزرگ‌ترین مقدار احتمال پسین باشد، انتخاب خواهد شد.

۷- روش ترکیب غیرخطی با شبکه عصبی TMLP:

$$PPcomb(i) = TMLP\{PPRPS(i), PPMFCC(i)\}$$

در این حالت، دوباره از یک ساختار شبکه عصبی TMLP برای ترکیب غیرخطی احتمالات پسین به‌دست آمده از LLRPS (PPMFCC) و MFCC39 (PPRPS) دو شبکه

(جدول ۲) - مقایسه نتایج آزمون دقّت بازشناسی قاب و اوج برای روش‌های متنوع ترکیب بردارهای PPMFCC و PPRPS

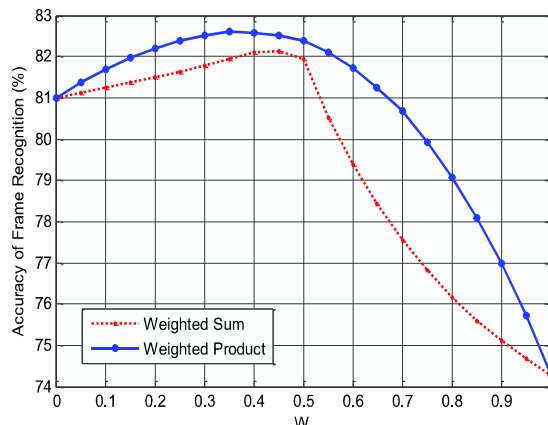
روش ترکیب خروجی شبکه‌ها	% دقّت	% دقّت	واج
جمع وزن دار ( $w=0.45$ )	۸۲/۱۳	۷۳/۵۷	۸۲/۵۷
ضرب وزن دار ( $w=0.35$ )	۸۲/۵۹	۷۴/۴۵	۸۲/۵۹
میانگین ( $w=0.5$ )	۸۱/۹۵	۷۳/۲۶	۸۱/۹۵
ضرب ( $w=0.5$ )	۸۲/۲۷	۷۴/۲۲	۸۲/۲۷
جمع وزن دار متناسب با معکوس آشوبی	۸۱/۷۸	۷۳/۴۲	۸۱/۷۸
بیشینه ( $Max$ )	۸۱/۶۱	۷۳/۱۰	۸۱/۶۱
غیرخطی TMLP	۸۴/۹۲	۷۶/۲۷	۸۴/۹۲

با توجه به نتایج ارائه شده در جدول (۲)، استفاده از روش‌های ترکیب، همواره منجر به بهبود نتایج دقّت بازشناسی قاب و اوج نسبت به نتایج بهدست آمده از هر یک از سامانه‌ها در حالت بدون ترکیب جدول (۱) شده است. بیشترین بهبود کارایی با روش ترکیب غیرخطی TMLP (سطر آخر جدول) به دست آمده است که بهتریب با درصد دقّت بازشناسی قاب و اوج  $۸۴/۹۲\%$  و  $۷۶/۲۷\%$ ، توانسته است نسبت به روش پایه MFCC39 (با مدل بازشناس TMLP) به ترکیب بهبود  $۳/۹۴\%$  و  $۴/۰۲\%$  داشته باشد. همچنین با مقایسه درصد دقّت بازشناسی اوج این روش (ترکیب غیرخطی خروجی‌های PPMFCC و PPRPS با مدل شبکه عصبی TMLP) با نتیجه بهدست آمده از سامانه پایه مبتنی بر HMM (ارائه شده در ردیف ۴ جدول (۱)، دیده می‌شود که روش ترکیب غیرخطی پیشنهادی (با مدل شبکه عصبی TMLP) توانسته است بهبود عمل کردی در حدود یک درصد در نتیجه دقّت بازشناسی اوج نشان دهد.

با توجه به نتایج جداول (۱) و (۲) موارد ذیل قابل نتیجه‌گیری است:

- در شرایط یکسان، عملکرد بازشناسی گفتار با مدل HMM بهتر از مدل شبکه عصبی TMLP است.
- ترکیب غیرخطی اطلاعات در سطح خروجی با روش شبکه عصبی TMLP نتیجه بازشناسی بهتری نسبت به ترکیب غیرخطی اطلاعات در سطح ویژگی با ساختار TANDEM و روش HMM داشته است.

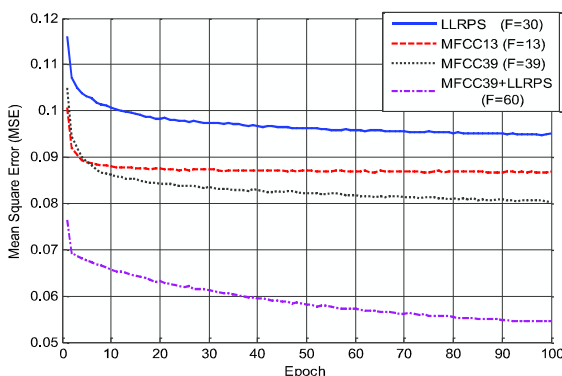
- در مقایسه با نتایج ارائه شده در (Shekofteh, 2013) که در آن از اعمال نگاشت خطی LDA بر روی ویژگی‌های اولیه



(شکل ۷) - نمودار درصد دقّت بازشناسی قاب برحسب وزن  $W$  در حالت روش‌های ترکیب جمع (Sum) و ضرب (Product) وزن دار.

نتایج بهدست آمده از نمودار شکل (۷) نشان می‌دهد که استفاده از روش‌های ترکیب جمع وزن دار و ضرب وزن دار می‌تواند منجر به بهبود نتایج سیستم بازشناسی ترکیبی نسبت به سیستم بازشناس پایه با ویژگی‌های متداول MFCC39 شود. همچنین کارایی روش ترکیبی ضرب وزن دار از روش جمع وزن دار بالاتر است.

با اعمال تابع لگاریتم در رابطه روش ترکیب ضرب وزن دار، این روش تبدیل به روش جمع وزن دار بر روی مقادیر لگاریتم احتمال پسین می‌شود. از آنجا که تابع لگاریتم، مقادیر کمتر از یک (محدوده مقادیر احتمالات پسین) را به صورت غیرخطی و با وضوح مناسبی بازنمایی می‌کند، نتایج بهدست آمده از شکل (۷) مؤید این مطلب است که استفاده از تابع لگاریتم در آنالیز مقادیر احتمال پسین برای کاربردهای بازشناسی بسیار مؤثرتر است. در ادامه و در جدول (۲) نتایج آزمون دقّت بازشناسی قاب و اوج برای تمامی روش‌های ترکیب بردارهای PPRPS و PPMFCC آورده شده است. در اینجا تنها از اعمال الگوریتم (PPcomb) ویتری ب بر روی مقادیر ترکیبی احتمال پسین برای تعیین خروجی بازشناسی در سطح آوایی اوج استفاده شده است.



(شکل ۸) - نمودار خطای تعلیم شبکه TMLP در صد تکرار اول برای بردار ویژگی‌های ورودی مختلف با بعد ورودی F.

با توجه به نمودارهای خطای رسم شده در شکل (۸)، شبکه TMLP در برگیرنده ویژگی‌های PPMFCC+PPRPS، خطای تعلیم کمتری را نسبت به دیگر سامانه‌های مورد استفاده کسب کرده است که این نیز می‌تواند ملاک مناسبی برای توجیه عمل کرد بهتر آن در فرآیند یادگیری و نتایج ارائه شده در جداول های (۱) و (۲) باشد.

همان‌طور که در بخش مقدمه اشاره شد، در روش‌های متداول استخراج ویژگی از سیگنال گفتار به‌طور معمول از روش‌های مبتنی بر طیف و کپستروم (مانند MFCC، LFBE و MFCC) استفاده می‌شود که در الگوریتم آنها اطلاعات فاز سیگنال گفتار به‌طور کامل حذف شده است. نتایج به‌دست آمده در آزمایش‌های این بخش مؤید این مطلب است که ترکیب مناسب ویژگی‌های کپستروم (MFCC) که فقد اطلاعات فاز سیگنال است با ویژگی‌های پیشنهادی (LLRPS) استخراج شده از RPS که حاوی اطلاعات حذف نشده فاز سیگنال است، توانسته است به علت هم‌افزابودن اطلاعات آنها، موجب بهبود عمل کرد نهایی سامانه بازناسنی در حالت ترکیبی شود.

## ۱۰- نتیجه‌گیری

در این مقاله روشی مبتنی بر استفاده از اطلاعات فضای بازسازی شده فاز (RPS) سیگنال گفتار برای بهبود عمل کرد یک سامانه بازناسنی گفتار پیوسته واج، مطرح و بررسی شد. در این روش علاوه بر استفاده از بردار ویژگی‌های متداول گفتاری، از اطلاعات به‌دست آمده از یک روش نوین نوین استخراج ویژگی مبتنی بر فضای بازسازی شده فاز استفاده شده است. این ویژگی‌ها (LLRPS) بر مبنای ساختار هندسی توزیع سیگنال گفتار جاسازی شده در حوزه RPS حاصل شده‌اند.

LLRPS اعمال شده است، استفاده از نگاشت غیرخطی ویژگی‌ها با روش شبکه عصبی و ساختار TANDEM، منجر به بهبود نتایج دقّت بازناسنی واج از ۵۶/۶۹ به ۶۰/۰۵ در بازناسنی با HMM شده است.

همان‌طور که از نتایج جدول (۲) مشاهده شد، عمل کرد روش ترکیب غیرخطی TMLP، با اعمال مجدد ویژگی‌های PPMFCC و PPRPS به شبکه عصبی در یک ساختار سلسله‌مراتبی، توانست بالاترین نتیجه دقّت بازناسنی را کسب کند. یک توجیه مناسب برای بهبود عمل کرد این روش، بررسی نوع ویژگی‌های ورودی به شبکه‌های عصبی در هر یک از طبقات ساختار سلسله‌مراتبی شکل (۶) است. به عنوان مثال ویژگی متداول MFCC از نوع ویژگی‌های صوتی مبتنی بر مدل منبع-فیلتر<sup>۱</sup> است که درجه بالایی از تغییرات غیرزبانی<sup>۲</sup> مانند مشخصه‌های گوینده و محیط (مانند نویه و کanal) را شامل می‌شود. این در حالی است که ویژگی‌های مبتنی بر احتمالات پسین دارای توزیع تُنک<sup>۳</sup> بوده و به دلیل خاصیت تفکیک‌پذیری بالاتر آن نسبت به ویژگی‌های صوتی، کمتر تحت تأثیر مشخصه‌های هم‌تولیدی<sup>۴</sup> گفتاری قرار می‌گیرند (Ellis, 2001; Sivadas, 2002). بنابراین یادگیری الگوهای گفتاری توسط شبکه‌های عصبی موجود در طبقه اول ساختار شکل (۶)، دارای پیچیدگی فراوان‌تری نسبت به طبقه دوم آن است که باید آموزش الگوهای گفتاری را از روی ویژگی‌های مبتنی بر احتمالات پسین بر روی توالی قاب‌های گفتاری انجام دهد.

برای بررسی بهتر این موضوع، در شکل (۸) نمودار خطای تعلیم (MSE) شبکه عصبی TMLP در حالت استفاده از ویژگی‌های ورودی LLRPS با بعد ویژگی F=30، F=39، F=13، MFCC13 با F=39 و شبکه عصبی TMLP در طبقه دوم ساختار شکل (۶) با بردار ترکیب PPMFCC+PPRPS و F=60، برای صد تکرار اول مرحله آموزش آنها آورده شده است.

<sup>1</sup> Source-Filter Model

<sup>2</sup> Nonlinguistic

<sup>3</sup> Sparse

<sup>4</sup> Coarticulation

- برای این منظور باید در مرحله تعلیم، یک سری مدل‌های مانیفولد واجی با مدل‌سازی GMM تعلیم داده شوند. ویژگی‌های نهایی، از امتیاز شباهت (مبتنی بر لگاریتم درست‌نمایی) تراز-کتوری سیگنال گفتار جاسازی شده در RPS با گفتاری تعلیم یافته در RPS محاسبه شوند. در اینجا نشان دادیم که با استفاده از مدل بازناس غیرخطی TMLP، عمل کرد ویژگی پیشنهادی LLRPS از ویژگی‌های متداول MFCC پایین‌تر است. اما با ترکیب مناسب خروجی‌های به دست آمده از دو سیستم بازناس که حاوی اطلاعات متمایز نسبت به یکدیگر هستند، می‌توانیم نتایج دقّت قاب و واج بازناسی شده را به ترتیب به مقدار  $0.94\%$  و  $0.402\%$  نسبت به بهترین سامانه بازناس پایه مبتنی بر مدل TMLP افزایش دهیم. همچنین با استفاده از ساختار TANDEM، نشان داده شد که الحق ویژگی‌های مبتنی بر RPS می‌تواند کارایی ویژگی‌های MFCC را حدود  $0.16\%$  بهبود دهد.
- ## مراجع
- رحیمی نژاد، مهدی؛ سیدصالحی، سیدعلی؛ ۱۳۸۲. مقایسه و ارزیابی کارایی انواع روش‌های استخراج پارامترهای بازناسی و هنجارسازی در بازناسی مستقل از گوینده گفتار، نشریه امیرکبیر، ش. ۵۵.
- جعفری، ایوب؛ الماس گنج، فرشاد؛ نبی بیدهندی، مریم؛ ۱۳۸۹. مدل‌سازی غیرخطی قطع پوانکاره سیگنال گفتار در ترکیب با تحلیل حوزه فرکانس به منظور افزایش صحت عمل کرد سیستم‌های بازناسی گفتار، نشریه فنی و مهندسی مدرس، دوره ۱۰، ش. ۳، ص. ۵۵ - ۷۰.
- ولی، منصور؛ سیدصالحی، سیدعلی؛ ۱۳۸۵. بازناسی مقاوم و توأم گفتار مستقیم و تلفنی با استخراج مناسب بردارهای بازناسی و اصلاح آنها توسط معکوس‌سازی شبکه‌های عصبی، نشریه مهندسی برق و مهندسی کامپیوتر ایران، سال ۴، ش. ۱، ص. ۲۱ - ۲۹.
- شکفتة، یاسر؛ الماس گنج، فرشاد؛ ۱۳۸۶. بهبود بازناسی گفتار با استفاده از شبکه‌های عصبی در برگیرنده الگوهای زمانی، مجموعه مقالات سومین کنفرانس بین‌المللی فناوری اطلاعات و دانش (IKT2007)، دانشگاه فردوسی مشهد، آذر ۱۳۸۶.
- Abarbanel, H.D.I., 1996. Analysis of observed chaotic data. Springer, New York.
- Alsteris, L.D., Paliwal, K.K., 2007. Short-time phase spectrum in speech processing: A review and some experimental results. *Digital Signal Processing*, vol. 17, pp. 578–616.
- Awrejcewicz J., 1990. Bifurcation portrait of the human vocal cord oscillation. *Journal of Sound Vibrations*, vol. 136, pp. 151–156.
- Banbrook, M., McLaughlin, S., 1996. Dynamical modelling of vowel sounds as a synthesis tool. In Proc. ICSLP, pp. 1981–1984.
- Berry, D.A., Herzel, H., Titze, I.R., Krischer K., 1994. Interpretation of biomechanical simulations of normal and chaotic vocal fold oscillations with empirical eigenfunctions. *The Journal of the Acoustical Society of America*, vol. 95, pp. 3595–3604.
- Bijankhan M., Sheykhzadegan J., Roohani M.R., Zarrintare R., Ghasemi S.Z. and Ghasedi M.E., 2003. TFarsDat - The Telephone Farsi Speech Database. In Proc. EuroSpeech, Geneva, Switzerland.
- Bourlard, H., Morgan, N., 1994. Connectionist speech recognition - a hybrid approach. Norwell, MA: Kluwer.
- Chen, B., Zhu, Q., Morgan, N., 2005. Tonotopic multi-layer perceptron a neural network for Learning long-term temporal features for speech recognition. In Proc. ICASSP, pp. 945–948.
- Davis, S.B., Mermelstein, P., 1980. Comparison of parametric representations for monosyllable word recognition in continuously spoken sentences. *IEEE Trans. Speech and Audio Processing*, vol. 28(4), pp. 357–366.
- Ellis, D., Singh, R., Sivadas, S., 2001. Tandem acoustic modeling in large vocabulary recognition. In Proc. ICASSP, pp. 517–520.
- Furui, S., 1986. Speaker-independent isolated word recognition using dynamic features of speech spectrum. *IEEE Trans. Acoustics, Speech and Signal Processing*, vol. 34 (1), pp. 52–59.
- FARSDAT, Persian speech database: <[http://catalog.elra.info/product\\_info.php?products\\_id=18](http://catalog.elra.info/product_info.php?products_id=18)>.
- Hagmuller, M., Kubin, G., 2006. Poincare pitch marks. *Speech Communication*, vol. 48, pp. 1650–1665.
- Hegde, R. M., Murthy, H.A., Gadde, V.R.R., 2007. Significance of the modified group delay feature in speech recognition, *IEEE Trans. Audio, Speech and Language Processing*, vol. 15 (1), pp. 190–202.

- Kennel, M.B., Brown, R., Abarbanel, H.D.I., 1992. Determining embedding dimension for phase-space reconstruction using a geometrical construction. *Physical review A*, vol. 45 (6), pp. 3403–3411.
- Kittler, J., Hatef, M., Duin, R.P.W., Matas, J., 1998. On combining classifiers. *IEEE Trans. Pattern Analysis and Machine Intelligence*, vol. 20(4), pp. 226–239.
- Kokkinos, I., Maragos, P., 2005. Nonlinear speech analysis using models for chaotic systems. *IEEE Trans. Speech Audio Processing*, vol. 13, pp. 1098–1109.
- Lindgren, A.C., Johnson, M.T., Povinelli, R.J., 2003. Speech recognition using reconstructed phase space features. In Proc. ICASSP, China, pp. 61–63.
- Lindgren, A.C., Johnson, M.T., Povinelli, R.J., 2004. Joint frequency domain and reconstructed phase space features for speech recognition. In Proc. ICASSP, Montreal, Canada, pp. I-533–I-536.
- Liu, X., Povinelli, R.J., Johnson, M.T., 2003. Vowel classification by global dynamic modeling. In Proc. NOLISP, pp. 111–114.
- Misra, H., Bourlard, H., Tyagi, V., 2003. New entropy based combination rules In HMM/ANN multi-stream ASR. In Proc. ICASSP, pp. 741–744.
- Morgan, N., Chen, B.Y., Zhu, Q., Stolcke, A., 2004. TRA-Pping conversational speech: Extending TRAP/Tandem approaches to conversational telephone speech recognition. In Proc. ICASSP, pp. 536–539.
- Narayanan, N.K., Thasleema, T.M., Prajith, P., 2012. Reconstructed state space model for recognition of consonant - vowel utterances using support vector machines. *International Journal of Artificial Intelligence and Applications*, vol. 3(2), pp. 101–119.
- Narayanan, S.S., Alwan, A.A., 1995. A nonlinear dynamical systems analysis of fricative consonants. *Acoustical Society of America Journal*, vol. 97, pp. 2511–2524.
- Nejadgholi, I., Seyyedsalehi, S.A., 2009. Nonlinear normalization of input patterns to speaker variability in speech recognition neural networks. *Neural Computing and Applications*, vol. 18, pp. 45–55.
- Paliwal, K., Alsteris, L., 2005. On the usefulness of STFT phase spectrum in human listening tests. *Speech Communication*, vol. 45, pp. 153–170.
- Park, J., Diehl, F., Gales, M.J.F., Tomalin, M., Woodland, P.C., 2011. The efficient incorporation of MLP features into automatic speech recognition
- Hermansky, H., 1990. Perceptual linear predictive (PLP) analysis of speech. *Journal of the Acoustic Society of America*, vol. 87(4), pp. 1738–1752.
- Hermansky, H., Ellis, D.P., Sharma, S., 2000. Tandem connectionist feature extraction for conventional HMM systems. In Proc. ICASSP, pp. 1635–1638.
- Herzel, H., Berry, D., Titze, I., Steinecke, I., 1995. Nonlinear dynamics of the voice: signal analysis and biomechanical modeling. *Chaos*, vol. 5, pp. 30–34.
- HTK (v.3.4), Hidden Markov Model Toolkit: <<http://htk.eng.cam.ac.uk/>>
- Indrebo, K.M., Povinelli, R.J., Johnson, M.T., 2006. Sub-banded reconstructed phase spaces for speech recognition. *Speech Communication*, vol. 48, pp. 760–774.
- Iqbal, S., Misra, H., Hermansky, H., Magimai, M., 2012. Phase autocorrelation (PAC) features for noise robust speech recognition, *Speech Communication*, vol. 54, pp. 867–880.
- Jafari, A., Almasganj, F., 2012. Using nonlinear modeling of reconstructed phase space and frequency domain analysis to improve automatic speech recognition performance. *International Journal of Bifurcation and Chaos*, vol. 22(3).
- Jafari, A., Almasganj, F., NabiBidhendi, M., 2010. Statistical modeling of speech Poincaré sections in combination of frequency analysis to improve speech recognition performance. *Chaos*, vol. 20, pp. 033106:1–11.
- Jiang, J.J., Zhang, Y., 2002. Chaotic vibration induced by turbulent noise in a two-mass model of vocal folds. *The Journal of the Acoustical Society of America*, vol. 112, pp. 2127–2133.
- Jiang, J.J., Zhang, Y., McGilligan, C., 2006. Chaos in voice, from modeling to measurement. *Journal of Voice*, vol. 20(1), pp. 2–17.
- Johnson, M.T., Povinelli, R.J., Lindgren, A.C., Ye, J., Liu, X., Indrebo, K.M., 2005. Time-domain isolated phoneme classification using reconstructed phase spaces. *IEEE Trans. Speech Audio Processing*, vol. 13(4), pp. 458–466.
- Kantz, H., Schreiber, T., 1997. *Nonlinear Time Series Analysis* Cambridge University Press, Cambridge, England.
- Kazemi, A.R., Sobhanmanesh, F., 2011. MLP refined posterior features for noise robust phoneme recognition. *Scientia Iranica, Trans. D: Computer Science & Engineering and Electrical Engineering*, vol. 18, pp. 1443–1449.

consonant classification. International Journal of Speech Technology, vol. 15(2), pp. 227-239.

Tohidpour, H.R., Seyyedsalehi, S.A., Behbood, H., Roshandel, H., 2012. A new representation for speech frame recognition based on redundant wavelet filter banks. Speech Communication, vol. 54(2), pp. 256-271.

Valente, F., 2010. Multi-stream speech recognition based on Dempster-Shafer combination rule. Speech Communication, vol. 52(3), pp. 213-222.

Vaziri, G., Almasganj, F., Behroozmand, R., 2010. Pathological assessment of patients' speech signals using nonlinear dynamical analysis. Computers in Biology and Medicine, vol. 40(1), pp. 54-63.

White, H., 1989. Learning in artificial neural networks: A statistical perspective, Neural Computation, pp. 425-464.

Ye, J., Johnson, M.T. M.T., Povinelli, R.J., 2003. Phoneme classification over reconstructed phase space using principal component analysis. In Proc. NOLISP, Le Croisic, France, pp. 11-16.

Ye, J., Povinelli, R.J., Johnson, M.T., 2002. Phoneme Classification Using naïve Bayes Classifier in Reconstructed Phase Space. In Proc. IEEE Digital Signal Processing Workshop, Atlanta, Georgia.

Yu, S., Zheng, D., Feng, X., 2006. A new time domain feature parameter for phoneme classification. In Proc. WESPAC IX 2006, Seoul, Korea.

Zavaliagkos, G., Zhao, Y., Schwartz, R., Makhoul, J., 1994. A hybrid seg-mental neural net/hidden Markov model system for continuous speech recognition, IEEE Trans. Speech Audio Processing, vol. 2 (1) pp. 151-160.

Zhu, Q., Chen, B., Morgan, N., Stolcke, A., 2004. On using MLP features in LVCSR. In Proc. ICSLP.



یاسر شکفته مدارک کارشناسی،  
کارشناسی ارشد و دکترای خود را  
در رشته مهندسی پزشکی (گرایش  
بیوکلریک) به ترتیب در سال های  
۱۳۸۷، ۱۳۸۴ و ۱۳۹۲ از دانشکده

مهندسی پزشکی دانشگاه صنعتی امیرکبیر اخذ نموده است.  
زمینه های تحقیقاتی مورد علاقه ایشان شامل پردازش

systems. Computer Speech and Language, vol. 25, pp. 519-534.

Pinto, J., Garimella, S., Magimai-Doss, M., Hermansky, H., Bourlard, H., 2011. Analysis of MLP-Based hierarchical phoneme posterior probability estimator. IEEE Trans. Audio Speech Language Processing, vol. 19(1), pp. 225-241.

Pitsikalis, V., Maragos, P., 2002. Speech analysis and feature extraction using chaotic models. In Proc. ICASSP, Orlando, Florida, pp. 533-536.

Pitsikalis, V., Maragos, P., 2009. Analysis and classification of speech signals by generalized fractal dimension features. Speech Communication, vol. 51(12), pp. 1206-1223.

Povinelli, R.J., Johnson, M.T., Lindgren, A.C., Roberts, F.M., Ye, J., 2006. Statistical models of reconstructed phase spaces for signal classification. IEEE Trans. Signal Processing, vol. 54, pp. 2178-2186.

Povinelli, R.J., Johnson, M.T., Lindgren, A.C., Ye, J., 2004. Time series classification using Gaussian mixture models of reconstructed phase spaces. IEEE Trans. Knowledge and Data Engineering, vol. 16, pp. 779-783.

Sameti, H., Veisi, H., Bahrani, M., Babaali, B., Hosseinzadeh, K., 2011. A large vocabulary continuous speech recognition system for Persian language. EURASIP Journal on Audio, Speech, and Music Processing, vol. (2011-1), pp. 1-12.

Sauer, T., Yorke, J.A., Casdagli, M., 1991. Embedology. Journal of Statistical Physics, vol. 65, pp. 579-616.

Shekofteh, Y., Almasganj, F., 2013. Feature extraction based on speech attractors in the reconstructed phase space for automatic speech recognition systems, ETRI Journal, vol. 35(1), pp. 100-108.

Sivadas, S., Hermansky, H., 2002. Hierarchical tandem feature extraction, In Proc. ICASSP, pp. 809-812.

Sun, J., Zheng, N., Wang, X., 2007. Enhancement of Chinese speech based on nonlinear dynamics. Signal Processing, vol. 87, pp. 2431-2445.

Takens, F., 1980. Detecting strange attractors in turbulence. In Proc. Dynamical System Turbulence, pp. 366-381.

Thasleema, T.M., Prajith, P., Narayanan, N.K., 2012. Time-domain non-linear feature parameter for

سیگنال‌های حیاتی، شناسایی الگو، مدل‌سازی سیستم‌های

بیولوژیکی و سیستم‌های بازشناسی گفتار است.

نشانی رایانامه ایشان عبارتست از:

y\_shekofteh@{aut.ac.ir,yahoo.com}

### فرشاد الماس‌گنج مدارک



کارشناسی و کارشناسی ارشد خود را در رشته مهندسی برق (گرایش الکترونیک) به ترتیب در سال‌های ۱۳۶۷ و ۱۳۶۳ از دانشگاه صنعتی

امیرکبیر اخذ نموده است. وی سپس در سال ۱۳۷۷ مدرک دکترای خود را در گرایش مهندسی پزشکی از دانشکده مهندسی برق دانشگاه تربیت مدرس اخذ نمود. ایشان هم اکنون عضو هیئت علمی دانشکده مهندسی پزشکی دانشگاه صنعتی امیرکبیر با سمت و درجه علمی دانشیار هستند. زمینه‌های تحقیقاتی مورد علاقه ایشان شامل پردازش سیگنال‌های رقمی، شناسایی الگو و مدل‌سازی صوتی و زبانی در سیستم‌های بازشناسی گفتار است.

نشانی رایانامه ایشان عبارتست از:

almas@aut.ac.ir

فصلنی  
دولتی

سال ۱۳۹۲ شماره ۱ بیانی ۱۹



www.SI.ir